



دانشگاه شهروردی و مهندسی کشاورزی

نشریه پژوهش در نسخوارکنندگان
جلد چهارم، شماره سوم، ۱۳۹۵
<http://ejrr.gau.ac.ir>

تعیین نواحی اپی توپی سلول B و T پروتئین فلاژلین از باکتری کلستریدیوم شووای، عامل بیماری شاربن علامتی در دام با استفاده از تجزیه و تحلیل‌های بیوانفورماتیکی

*سیده زهرا موسوی^۱، نرگس نظیفی^۲، زانا پیر خضرانیان^۲ و کسری احمدیان^۲

^۱دانشجوی کارشناسی ارشد و ^۲دانشجوی دکتری ژنتیک و اصلاح نژاد دام، گروه علوم دامی، دانشکده کشاورزی،

دانشگاه فردوسی مشهد

تاریخ دریافت: ۹۵/۱/۲۸؛ تاریخ پذیرش: ۹۵/۸/۲۵

چکیده

سابقه و هدف: شاربن علامتی از جمله بیماری‌های حاد و موثر بر گاو و گوسفندان جوان است که علاطم این بیماری ایجاد می‌وزیست و مسمومیت است که اغلب کشنده می‌باشد. عامل این بیماری باکتری کلستریدیوم شووای است که یک باکتری گرم مثبت، میله‌ای شکل و بی‌هوایی است و تولید گاز و اسپور می‌نماید. اسپور این باکتری مقاومت بالایی دارد و می‌تواند در خاک و غذا سال‌ها زنده بماند. ابعاد این باکتری $8-10 \times 0.5-1 \mu\text{m}$ میکرون است و معمولاً به صورت انفرادی، گاهی دیپلو، بندرت استرپتو با سیل مشاهده می‌گردد. مهمترین آنتی‌ژن حفاظتی این باکتری فلاژلین نامیده می‌شود که یک پروتئین سطحی است و در پروتئین فلاژلا قرار دارد. از آنجا که پروتئین فلاژلین یک فاکتور بیماری‌زاوی است، بنابراین یک آنتی‌ژن حفاظتی به شمار می‌آید که در سال‌های اخیر بسیار مورد توجه قرار گرفته است و از آن می‌توان در طراحی واکسن نوتركیب استفاده کرد. هدف اصلی از مطالعه حاضر بررسی پروتئین فلاژلین با استفاده از تجزیه و تحلیل‌های بیوانفورماتیکی و مشخص کردن نواحی اپی‌توپی مربوط به سلول B و T است.

مواد و روش‌ها: با استفاده از نرم افزارهای بیوانفورماتیکی پیش‌بینی کننده‌ای اپی‌توپ‌های سلول B و T و همچنین نرم افزارهای پیش‌بینی کننده‌ی ساختار دوم و سوم پروتئین، اپی‌توپ‌های نهایی پروتئین فلاژلین براساس بالاترین امتیاز و بیشترین تکرار در نرم افزارها تعیین شدند و در نهایت به منظور بررسی بیشتر خواص

*نوابسته مسئول: zaramousavi@yahoo.com

نشریه پژوهش در نسخوارکنندگان (۴)، شماره (۳) ۱۳۹۵

اپی توب‌های انتخاب شده، بررسی هضم آنزیمی و توان آنتی‌زنی اپی توب‌های نهایی با نرم‌افزار VaxiJen ۲.۰ با حد آستانه ۰/۸ نیز به کمک نرم افزارهای تحت وب مربوطه انجام شد.

یافته‌ها: نتایج بدست آمده در مطالعه حاضر سه اپی‌توب در دامنه توالی آمینواسیدی ۹۵-۷۹، ۱۱-۳۱، ۳۱۰-۳۲۰، ۴۰۶-۳۹۹ برای سلول T و ۳ اپی‌توب با توالی اسیدآمینه ای ۱۴۶-۱۵۶، ۲۴۶-۲۵۴، ۲۹۱-۲۹۹ برای سلول B مشخص کرد و نشان داد که توالی آمینو اسیدی ۳۲-۴۵ یک اپی‌توب مشترک برای سلول‌ها B و T است. در نهایت تجزیه و تحلیل بیوانفورماتیکی ساختار دوم و سوم نشان داد که توالی اسید آمینه‌ای ۳۲-۴۵ ناحیه‌ای اپی‌توبی مشترک در دو گروه سلول‌های B و T می‌باشد که ۶۱ درصد این ناحیه شامل حلقه‌های تصادفی است و در سطح ساختار آنتی‌زن فلاژلین قرار دارند.

نتیجه‌گیری: استفاده از توالی اسید آمینه ای اپی‌توب‌های حاصله به خصوص اپی‌توب مشترک در سازه‌های نوترکیب مورد استفاده در واکسن‌های نسل جدید می‌تواند علاوه بر حذف خطرات ناشی از آثار سوء واکسن‌های زنده و تخفیف حدت یافته، سطح بالایی از پاسخ سیستم ایمنی را در بدن میزبان آلوده به باکتری کلستریدیوم شووای به وجود آورد.

واژه‌های کلیدی: کلستریدیوم شووای، فلاژلین، پیش‌بینی اپی‌توب، بیوانفورماتیک

مقدمه

شارین علامتی یکی از بیماری‌های حادی است که به طور عمدی در گاو و گوسفند جوان مشاهده می‌شود. از جمله علائم این بیماری ایجاد میوزیت و مسمومیت است که اغلب کشنده می‌باشد. عامل این بیماری باکتری کلستریدیوم شووای است که یک باکتری گرم مثبت، میله‌ای شکل، بی‌هوایی است که تولید گاز و اسپور می‌نماید. اسپور این باکتری مقاومت بالایی داشته و می‌تواند در خاک و غذا سال‌ها زنده بماند (۷)، بنابراین رایج‌ترین مسیر ورود این باکتری به بدن از طریق دستگاه گوارش است. هرچند که ممکن است از طریق ضایعات پوستی نیز منتقل شود (۱۲). ابعاد این باکتری $1 \times 3 - 8 \times 5$ میکرون است و معمولاً به صورت انفرادی، گاهی دیپلو، بندرت استرپتو باسیل مشاهده می‌گردد (۱۳). امروزه مشخص شده است که ترشح flagella در بیماری زایی توسط این باکتری نقش به سزاوی دارد (۶). آنتی‌زن حفاظتی عمدی این باکتری فلاژلین نامیده می‌شود که (۱۰) یک پروتئین سطحی است و در پروتئین فلاژلا قرار دارد (۱۵). از آن جایی که پروتئین فلاژلین یک فاکتور بیماری‌زا و هم‌چنین یک آنتی‌زن حفاظتی به شمار می‌آید، در سال‌های اخیر مورد توجه قرار گرفته است (۱۰). سیستم ایمنی بدن مسئول تنظیم آنتی‌بادی‌هایی است که ناحیه‌ی اپی توپ آنتی‌زن را شناسایی می‌کند (۵). اپی‌توپ‌ها پیتیدهای کوتاهی هستند که بر اساس نوع گیرنده‌ی آن‌ها در سیستم ایمنی به دو دسته‌ی کلی سلول B (خطی پیوسته و فضایی غیر پیوسته) سلول T (MHC II و MHC I) تقسیم‌بندی می‌شوند (۵). اپی‌توپ‌های سلول T در کمپلکس اصلی سازگاری بافتی (MHC) که رشتہ پیتیدی آنتی‌زنیک هستند قرار دارند و به وسیله‌ی گیرنده‌های سلول T شناسایی می‌شوند. مولکول MHC در آنتی‌زن‌های اندوزنس و مولکول MHC II در آنتی‌زن‌های اگزوژنس حضور دارند. مولکول MHC I به پیتیدی با طول تقریباً ۹ اسید‌آمینه در داخل یک شیار بسته باند می‌شود. ولی به دلیل این که آنتی‌زن‌هایی که به شیار متصل هستند در هر دو انتهای باز هستند، مولکول MHC II می‌تواند در پیتیدهای بلندتر حضور داشته باشد. اپی‌توپ‌های سلول B به وسیله‌ی آنتی‌بادی‌ها یا سلول B شناسایی می‌شوند که شامل اپی‌توپ‌های خطی پیوسته و اپی‌توپ‌های فضایی ناپیوسته می‌باشد. اپی‌توپ‌های فضایی که شامل اپی‌توپ‌های سلول B بزرگ هستند با ویژگی‌های سطحی سه بعدی مورد توجه قرار گرفته و در مولکول آنتی‌زنیک شرکت می‌کنند (۴). با وجود این که منابع کمی در رابطه با تولید واکسن شارین علامتی وجود دارد واکسیناسیون تنها راه مؤثر

1. Major Histocompatibility complex

برای کنترل بیماری شارین علامتی می‌باشد (۱۳). حیوانات اهلی می‌توانند منابع مسمومیت غذایی انسان باشند، لذا برای کاهش یا حذف این خطر باید استراتژی‌هایی برای جلوگیری از ورود عفونت‌های حیوانی به زنجیره غذایی انسان توسعه پیدا کنند (۱). واکنش زنجیره ای پلی مراز (PCR^۱) به عنوان یکی از مدرن‌ترین تکنولوژی‌ها در تشخیص بیماری‌های عفونی، در مقایسه با تکنیک‌های سنتی است و همچنین ثابت شده است که این روش می‌تواند با سرعت و قابلیت اعتماد بیشتری، نتایج را در طی چند ساعت نشان دهد. PCR می‌تواند تشخیص سریع‌تر و مستقیم عفونت‌های باکتریایی را به‌طور مستقیم از نمونه‌های کلینیکی فراهم آورد (۲). همچنین ابداع روش‌های مهندسی ژنتیک سبب پیدایش حوزه‌ی نوینی در تولید مواد بیولوژیک از جمله واکسن‌های نوترکیب شده است. پیش‌بینی اپی توب‌های سلول B و T با قدرت ایمنی‌زایی بالا می‌تواند ابزاری توانمند برای تولید واکسن نوترکیب بر اساس اپی توب برای تحریک سیستم ایمنی بدن باشد (۵). پیش‌بینی اپی توب‌های پیوسته سلول B بسیار مشابه به پیش‌بینی اپی توب سلول T است، اما پیش‌بینی اپی توب‌های ناپیوسته و فضایی نیاز به شناخت بیشتر از ساختار سه بعدی کمپلکس آنتی‌ژن-آنٹی‌بادی و سایر مسائل نیز دارد (۱۶). همچنین با پیشرفت علم ژنتیک، ژن عامل اصلی در برنامه‌ریزی عملکرد سلول و به دنبال آن کنترل ویژگی‌های موجود زنده شناخته شد. به این ترتیب تمایل برای شناخت هرچه بیشتر ژن‌ها به منظور توجیه پدیده‌های زیستی افزایش یافت تا حدی که در چند دهه اخیر، تجهیزات مورد نیاز در تحقیقات مولکولی به‌طور گستره‌ای افزایش یافته است و امروزه تحقیقات مولکولی جزو مطالعات رایج آزمایشگاه‌های زیستی است. اطلاعات به دست آمده از تحلیل داده‌های زیستی به وسیله علم بیوانفورماتیک، در به خط کردن توالی‌ها در بانک‌های اطلاعاتی برای یافتن شباهت‌ها و تفاوت‌های ژنی، پیش‌گویی ساختار و عملکرد محصولات ژن‌ها و یافتن ارتباط فیلوزنیک میان ژن‌ها و توالی‌های پروتئینی کمک می‌کند (۹،۸).

برخی از پژوهشگران ایرانی با بررسی بیوانفورماتیکی پیش‌بینی اپی توب‌های سلول B و T نشان دادند که این اپی توب‌ها می‌توانند به عنوان نواحی مناسب برای ساخت واکسن‌های نوترکیب در نظر گرفته شوند (۵ و ۱۷). هدف از مطالعه حاضر بررسی پروتئین فلاژلین با استفاده از تجزیه و تحلیل‌های بیوانفورماتیکی و مشخص کردن نواحی اپی توبی سلول B و T باکتری کلستریدیوم شووای

1. Polymerase chain reaction

است که در نهایت می توان این اپی توپ‌ها را به منظور تولید واکسن نوترکیب در عوض استفاده از کل آنتی‌ژن مورد استفاده قرار داد.

مواد و روش‌ها

توالی اسید آمینه پروتئین فلاژلین: توالی اسید آمینه پروتئین فلاژلین آنتی‌ژن حفاظتی باکتری کلستریدیوم شووای که از ۴۱۳ اسید آمینه تشکیل شده است با شماره دسترسی BAB13814 از بانک جهانی (http://www.ncbi.nih.gov/genbank) استخراج شد (شکل ۱).

نرم افزارهای مورد استفاده برای پیش‌بینی اپی توپ‌ها: به منظور پیش‌بینی اپی توپ‌های سلول B و T پروتئین فلاژلین، نرم افزارهای لیست شده در جدول ۱ مورد استفاده قرار گرفتند. الگوریتم این نرم افزارها بر مبنای پیش‌بینی اختصاصی اپی توپ‌های سلول B و T طراحی شده است. در این نرم افزارها از توالی خطی اسید آمینه برای تعیین مناطقی با میزان بالای خواص آنتی‌ژنی که به عنوان ناحیه‌ی اپی توپ شناخته می‌شوند، استفاده شد. این نواحی با اسکورهای (رتبه‌های) مختلفی گزارش می‌شوند. انتخاب آل‌های مورد استفاده در رابطه با سلوهای T مبنی بر شیوع بیشتر آل‌ها در کشور می‌باشد (۳).

جدول ۱- نرم افزارهای تحت وب مورد استفاده برای پیش‌بینی توپ‌های سلول B و T

Table 1. web used to prediction of B and T cells

سرورها Servers	لينك Links
پیش‌بینی اپی توپ‌های سلول T	
Prediction of T cell epitopes	
IEDB	http://tools.immuneepitope.org/mhci/
SYFPEITHI	http://www.syfpeithi.de/
PropredI	http://www.imtech.res.in/raghava/propred1/
Propred	http://www.imtech.res.in/raghava/propred/
پیش‌بینی اپی توپ‌های سلول B	
Prediction of B cell epitopes	
Bcepred	http://www.imtech.res.in/raghava/bcepred/
ABCpred	http://www.imtech.res.in/raghava/abcpred/
BepiPred	http://www.cbs.dtu.dk/services/BepiPred
BCPred	http://ailab.cs.iastate.edu/bcpreds/
SVMTrip	http://sysbio.unl.edu/SVMTriP/
LEPS	http://leps.cs.ntou.edu.tw/
IEDB	http://tools.immuneepitope.org/tools/bcell/iedb_input

پیش‌بینی ساختار دوم و سوم آنتی‌زن فلاژلین: شکل‌های مختلف فضایی (مارپیچ‌ها، صفحه‌ها، حلقه‌ها و چرخش‌ها) آنتی‌زن فلاژلین باکتری کلستریدیوم شووای برای پیش‌بینی ساختار دوم آنالیز شد. برای این منظور از نرم‌افزار I-TASSER (<http://zhanglab.ccmb.med.umich.edu/I-TASSER>) استفاده گردید. در ادامه پیش‌بینی ساختار سوم آنتی‌زن فلاژلین با استفاده از نرم‌افزار I-tasseer و هم‌چنین نرم‌افزار pymol انجام شد.

تعیین ویژگی‌های آنتی‌زنی و هضم آنزیمی اپی‌توب‌ها: انتخاب نهایی اپی‌توب‌های پیش‌بینی شده سلول B و T با استفاده از سرور 2.0 VaxiJen انجام شد (<http://www.ddg-pdb.org/VaxiJen/>). این نرم‌افزار تحت وب اپی‌توب‌ها را با توجه به ویژگی‌های فیزیکو‌شیمیایی طبقه‌بندی می‌کند. در پایان برای بررسی هضم آنزیمی توب‌های پیش‌بینی شده‌ی پروتئین فلاژلین نرم‌افزار تحت وب هضم پروتئینی مورد استفاده قرار گرفت (<http://db.systemsbiology.net:8080/proteomicsToolkit/proteinDigest.html>). علاوه بر شناسایی آنزیم‌هایی که اپی‌توب‌های نهایی را هضم می‌کنند، جرم و نقطه ایزوالتیریک اپی‌توب‌های پیش‌بینی شده نیز به وسیله این نرم‌افزار مشخص گردید.

ORIGIN

```
1 miinhnmnal nahrnmmgnl atagsmekl ssglrinrag ddaaglaise kmrgqirgld
61 qasrnqdgj sligtaegal aethsilqrm relsvqsand tnvavdrtae qdeinsltree
121 inrisgdtf ntqklldggf kgefqigans ngtvkldign msaaslgltt tnsleskalt
181 kdsnladgty kisgknlvdt ngnsvgtfda askkitvngk dtvfdkaala enavltvksg
241 taeikntmtg aatkllssgny eikgtnvngk gklagtfdaa kkkltidgvg dvseaelgfq
301 tskmldkvsf tingsdvstr elasgsiki nsiaeqvstq rsklgavqnr lehtinnlnt
361 ssenltaaes rvrdvdmake mmafsknnil sqaaqamlgq anqqpqgvqlq llr
```

شکل ۱. توالی اسید‌آمینه‌ای پروتئین فلاژلین

Figure 1- Amino acid sequence of Flagellin protein

نتایج و بحث

تایید روش‌های تجزیه و تحلیل بیوانفورماتیک: به منظور بررسی صحت عملکرد نرم‌افزارهای مورد استفاده در این مطالعه، چهار آنتی‌زن (GroEL, Dnak, Omp31 و SOD) که عملکرد اپی‌توب‌های آن‌ها به صورت تجربی تایید شده‌اند، انتخاب شدند و اپی‌توب‌های آن‌ها به وسیله ابزارهای بیوانفورماتیکی مورد استفاده در این مطالعه، پیش‌بینی شدند. سپس نتایج مقایسه اپی‌توب‌های پیش‌بینی شده در برابر

اپی توپ‌های حاصله از آزمایشات تجربی نشان داد که اپی توپ پیش‌بینی شده بیوانفورماتیکی، با یافته‌های تجربی در همه آنتی‌زن‌های انتخاب شده مشابه است (۵).

نرم افزارهای استفاده شده برای پیش‌بینی اپی توپ‌ها

سلول **B**: پس از وارد کردن توالی اسید آمینه‌ای پروتئین فلازیلین در نرم افزارهای پیش‌بینی اپی توپ‌های سلول B، اپی توپ‌هایی که بالاترین امتیاز را داشتند انتخاب شدند. بین اپی توپ‌های انتخاب شده مقایسه انجام شد و اپی توپ‌ها با بالاترین امتیاز و بیشترین تکرار در سورورها وارد مرحله بعدی آنالیز شدند (جدول ۲).

جدول ۲- اپی توپ‌های پیش‌بینی شده به وسیلهٔ نرم افزارهای پیش‌بینی کننده اپی توپ‌های سلول **B**

Table 2. Predicted epitopes by software's of B cell epitopes prediction

نرم افزارها Software	شروع Start	توالی Sequence	انتها Stop
BCPREDSFBCPRED	32	SGLRINRAGDDAAG	45
BCPREDSAAP	56	IRGLDQASRNAQDG	69
BCPREDSFBCPRED	95	VQSANDTNVAVDRT	108
BCPREDSAAP	107	RTAIQDEINSLTEE	120
SVMTRIP	115	NSLTEEINRISGDT	128
BCPREDSAAP	136	LDGGFKGEFQIGAN	149
BCPREDSAAP	169	TTTNSLESKALTKD	182
SVMTRIP	175	ESKALTKDSNLADG	188
BCPREDSFBCPRED	193	SGKNLVDTNGNSVG	206
BCPREDSAAP	205	VGTFDAASKITVN	218
BCPREDSFBCPRED	220	KDTVFDKAALAEANA	233
ABCPRED	228	ALAENAVLTVKSGT	241
BCPREDSAAP	241	TAEIKNTMTGAATK	254
BCPREDSAAP	272	KLAGTFDAAKKKLT	385
BCPREDSFBCPRED	309	SFTINGSDVSTREL	322
BCPREDSAAP	328	KTINSAIEQVSTQR	341
BCPREDSFBCPRED	352	EHTINNLNTSSENL	365
BCPREDSFBCPRED	368	AESRVRDVDMAKEM	381
IEDB	399	GQANQQPQ	406

سلول **T**: برای شناسایی اپی توپ‌های سلول T از نوع I MHC به کمک نرم افزارهای پیش‌بینی کننده نوع MHC I از آلل‌های A-0101، A0201 و B-2705 و نوع II MHC II از آلل‌های DRB1-0101 و DRB1-040 استفاده شد. اپی توپ‌هایی که بالاترین امتیاز را در هر نوع I MHC و II MHC داشتند به عنوان مناسب‌ترین اپی توپ‌ها انتخاب شدند و در نهایت اپی توپ‌های مشترک بین I MHC و

MHC II با بالاترین امتیاز و بیشترین تکرار، انتخاب و وارد مرحله پیش‌بینی اپی‌توب بعدی شدند (جدول ۳).

جدول ۳- اپی‌توب‌های پیش‌بینی شده به وسیله نرم‌افزارهای پیش‌بینی کننده اپی‌توب‌های سلول T

Table 3.Predicted epitopes by software of T cell epitopes prediction

نرم افزار-آلل Software - Alleles	شروع Stat	توالی Sequence	انتها Stop
PROPREDDR-B-10401	1	MIINHNMA	9
MHCI IEDB-A-0101	8	EKLSSGLRINRAGD	41
MHCI IEDB-A-0101	20	IATAGKSMEKLLSG	33
MHCI IEDB-A-0101	32	SGLRINRAGDDAAG	45
MHCI IEDB-A-0101	45	GLAISEKMRGQIRG	58
MHCI IEDB-A-0201	55	QIRGLDQASRNAQD	68
MHCI IEDB-A-0201	83	THSILQRMRELNVQ	96
MHCI IEDB-A-0101	87	LQRMRRELNVQ SAND	100
MHCI IEDB-A-0201	100	DTNVAVDRTAIQDE	113
Propred-A-0201	116	SLTEEINRI	124
MHCI IEDB-A-0201	120	EINRISGDTEFNTQ	133
MHCI IEDB-B-2705	125	SGDTEFNTQKLLDG	138
MHCI IEDB-A-0201	139	GFKGEFQIGANSNQ	152
MHCI IEDB-A-0101	146	IGANSNQTVKLDIG	156
Propred-A01	173	SLESKALT K	181
SYFPEIT-A-0101	180	TKDSNLADGTY	190
MHCI IEDB-A-0101	189	TYKISGKNLVDTNG	202
SYFPEITHI-A-0201	193	NLADGTYKI	201
MHCI IEDB-B-2705	209	DAASKITVNGKDT	222
MHCI IEDB-A-0101	227	AALAENAVLTVKSG	240
MHC II IEDBDR-B1-0401	237	VKGSGTAEIKNTMTGA	251
MHCI IEDB-A-0201	243	EIKNTMTGAATKLS	256
MHCI IEDB-A-0101	253	TKLSSGNYEIKGTN	266
MHCI IEDB-A-0101	258	GNYEIKGTNVIKDG	271
MHCI IEDB-A-0201	270	DGKLAGTFDAAKKK	283
MHCI IEDB-A-0201	287	DGVGDVSEAEELGFQ	300
MHCI IEDB-A-0201	294	EAELGFQTSKMLDK	307
MHCI IEDB-A-0101	312	INGSDVSTRELASG	325
MHCI IEDB-A-0101	363	ENLTAAESRVRDVD	376
MHCI IEDB-A-0201	374	DVDMAKEMMAFSKN	387

پیش‌بینی ساختار دوم و سوم آنتی‌ژن فلاژلین: همان‌طور که در شکل ۲ نشان داده شده است، نتایج بدست آمده از بررسی پیش‌بینی ساختار دوم آنتی‌ژن فلاژلین به کمک سرور I_tasseer مشخص کرد که حلقه‌های تصادفی و رشته‌های توسعه یافته با بالاترین نسبت در پروتئین مورد مطالعه حضور دارند. نواحی حاوی حلقه‌های تصادفی و رشته‌های توسعه یافته در ساختار یک پروتئین موجب افزایش

احتمال حضور اپی توب در سطح می‌شوند (۱۱). در این رابطه یوسفی و همکاران (۲۰۱۵) بررسی بیوانفورماتیکی که بر روی آنتی زن ۲۵omp باکتری بروسلا ملیتیسیس انجام دادند، نشان دادند که ناحیه‌ی اسید آمینه‌ای ۱۵۴-۱۶۲ که حاوی درصد بالای ساختار حلقه‌های تصادفی است می‌تواند به طور مشترک سلول‌های مسئول ایمنی سلولی و هومورال را تحریک کند (۱۷). همچنین فروهرمه ر و همکاران (۲۰۱۵) بر روی پروتئین ۴۰p باکتری مایکوپلاسما آگالاکتیب به منظور ساخت واکسن نوترکیب بررسی‌های بیوانفورماتیکی انجام دادند و گزارش کردند که در ارتباط با سلول‌های B، اپی توب‌های موجود در ناحیه اسید آمینه‌ای ۲۴۰-۲۴۸، ۲۴۰-۲۱۸، ۲۱۸-۲۰۵ و ۲۰۵-۲۶۵ و در ارتباط با سلول‌های T اپی توب‌های موجود در ناحیه اسید آمینه‌ای ۳۳۷-۲۲۳، ۲۱۴-۱۰۵، ۱۰۵-۸۶، ۳۴۵-۳۴۵ دارای فعالیت آنتی زنی می‌باشند. همچنین گزارش کردند که تمامی این نواحی حاوی درصد بالای از حلقه‌های تصادفی و رشته‌های توسعه یافته هستند (۵).



شکل ۲- نتایج پیش‌بینی ساختار دوم آنتی زن فلازلین: H= مارپیچ الفا، S= رشته توسعه، C= حلقه‌های تصادفی

Figure 2. results of prediction of the secondary structure of Flagellin antigenic protein: H= alpha helix, S= extended strands, C= random coil

خواص آنتی زنی پروتئین: میزان آنتی زنیتی توب‌های انتخاب شده نهایی سلول T و B در مرحله اول با استفاده از نرم‌افزار VaxiJen 2.0 با حد آستانه ۰/۸ تعیین شدند. در این نرم‌افزار اپی توب‌های ۱۰۷-۳۶۵-۳۵۲، ۳۴۱-۳۲۸، ۳۸۵-۲۷۲، ۲۴۱-۲۲۸، ۲۲۳-۲۲۰، ۲۱۸-۲۰۵، ۱۸۸-۱۷۵، ۱۲۸-۱۱۵، ۱۱۳-۱۰۰، ۱۰۰-۸۷، ۹۶-۸۳، ۶۸-۵۵، ۵۸-۴۵، ۹-۱ برای سلول B و اپی توب‌های ۱۲۴-۱۱۶، ۱۱۳-۱۰۰، ۱۰۰-۸۷، ۹۶-۸۳، ۶۸-۵۵، ۵۸-۴۵، ۹-۱ برای سلول T میزان آنتی زنیتی توب‌های انتخاب شده نهایی سلول T و B در مرحله اول با استفاده از نرم‌افزار VaxiJen 2.0 با حد آستانه ۰/۸ تعیین شدند. در این نرم‌افزار اپی توب‌های ۱۰۷-۳۶۵-۳۵۲، ۳۴۱-۳۲۸، ۳۸۵-۲۷۲، ۲۴۱-۲۲۸، ۲۲۳-۲۲۰، ۲۱۸-۲۰۵، ۱۸۸-۱۷۵، ۱۲۸-۱۱۵، ۱۱۳-۱۰۰، ۱۰۰-۸۷، ۹۶-۸۳، ۶۸-۵۵، ۵۸-۴۵، ۹-۱

۱۲۰-۱۳۳، ۱۲۵-۱۳۸، ۱۹۳-۲۰۱، ۳۷۴-۳۸۷، ۲۷۰-۲۸۳ از سلول T فاقد خواص آنتیژنیسته بودند. در نهایت اپی توب‌ها با امتیاز بالاتر از ۰/۸ انتخاب و وارد مرحله‌ی بعدی شدند. شناسایی خواص اپی توب‌ها: اپی توب‌های نهایی سلول T و B با ساختار سه بعدی با استفاده از نرم‌افزار pymol مشخص شدند. اپی توب‌های پیش‌بینی شده برای سلول T به رنگ سیز و سلول B به رنگ آبی در شکل ۳ مشخص شده است. هم چنین اپی توب مترک بین سلول T و B نیز در شکل ۳ با رنگ قرمز مشخص شد. آنالیز ساختار سه بعدی پروتئین فلاژلین نشان داد که تمام اپی توب‌های پیش‌بینی شده سلول T و B در خارج از ساختار پروتئینی آنتیژن فلاژلین واقع شده است. نتایج حاصل از تجزیه و تحلیل هضم آنزیمی مبنی بر انتخاب اپی توب‌هایی بود که کمتر تحت تأثیر هضم آنزیمی قرار گرفته‌اند، نقطه‌ی ایزووالکتریک و جرم پیتید مورد نظر در (جدول ۴) نشان داده شده است.

جدول ۴: تجزیه تحلیل هضم آنزیمی برای اپی توب‌های نهایی سلول T و B

Table 4. Enzyme digestion analysis of final T and B cell epitopes

سلول (T cell) T					
توالی Sequences	امتیاز Vaxjen score	جرم (کیلو دالتون) Mass(KD)	نقشه ایزووالکتریک Isoelectric point	آنژیم‌های هضم نشده Undigested enzymes	
32 SGLRINRAGDDAAG₄₅	1.8567	1372.42	5.68	Chymotrypsin, Cyanogen_Bromide, IodosoBenzooate, Proline_Endopept, Staph_Protease, Trypsin_K	
56 IRGLDQASRNAQDG₆₉	0.9885	1500.59	5.69	Chymotrypsin, Cyanogen_Bromide, IodosoBenzooate, Proline_Endopept, Staph_Protease, Trypsin_K	
95 VQSANDTNNAVDR₁₀₇	0.9897	1388.46	4.21	Trypsin, Chymotrypsin, Clostripain, Cyanogen_Bromide, IodosoBenzooate, Proline_Endopept, Staph_Protease, Trypsin_K, Trypsin_R, Chymotrypsin(modified)	

سیده زهرا موسوی و همکاران

137 DGGFKGEFQIGAN₁₅₀	0.9882	1339.43	4.37	Clostripain, Cyanogen_Bromide, IodosoBenzoate, Proline_Endopept, Trypsin_R, AspN
193 SGKNLVDTNGNSVG₂₀₆	1.1096	1361.43	5.55	Chymotrypsin, Clostripain, Cyanogen_Bromide, IodosoBenzoate, Proline_Endopept, Staph_Protease, Trypsin_R
241 TAEIKNTMTGAATK₂₅₄	1.0530	1436.64	8.26	Chymotrypsin, Clostripain, IodosoBenzoate, Proline_Endopept, Trypsin_R, AspN, Chymotrypsin(modified)
169 TTTNSLESKALT_K₁₈₁	0.9690	1393.56	8.26	Chymotrypsin, Clostripain, Cyanogen_Bromide, IodosoBenzoate, Proline_Endopept, Trypsin_R, AspN
311 TINGSDVSTR₃₂₀	2.5397	1049.11	5.50	Trypsin, Chymotrypsin, Clostripain, Cyanogen_Bromide, IodosoBenzoate, Proline_Endopept, Staph_Protease, Trypsin_K, Trypsin_R, Chymotrypsin(modified)
370 SRVRDVDMAK₃₇₉	1.1533	1176/36	8.46	Chymotrypsin, IodosoBenzoate, Proline_Endopept, Staph_Protease, Trypsin_K, Chymotrypsin(modified)
399 GQANQQPQ₄₀₆	0.9646	869.89	5.52	Trypsin, Chymotrypsin, Clostripain, Cyanogen_Bromide, IodosoBenzoate, Staph_Protease, Trypsin_K, Trypsin_R, AspN, Chymotrypsin(modified)

نشریه پژوهش در نسخوارکنندگان (۴)، شماره (۳) ۱۳۹۵

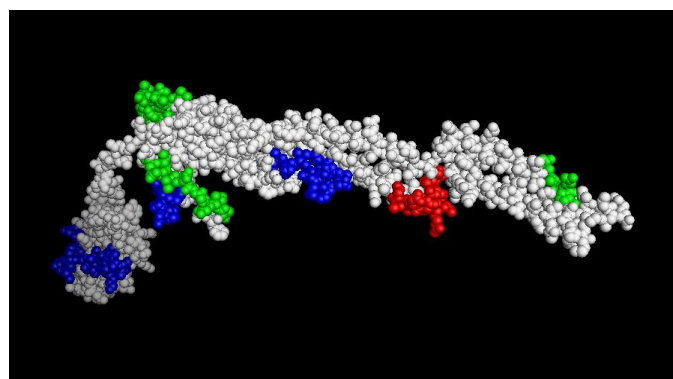
توالی Sequences	امتیاز Vaxjen score	(B cell) جرم (کیلو Dalton) Mass(KD)	B سلول نقاطه ایزوکتریک Isoelectric point	آنزیم‌های هضم نشده Undigested enzymes
20 IATAGKSMEKLSSG₃₃	1.2329	1379.59	8.59	Chymotrypsin, Clostripain,IodosoBenzoate, Proline_Endopept, Trypsin_R,AspN
30 LSSGLRINRAG₄₀	1.2597	1143.31	12.00	Chymotrypsin, Cyanogen_Bromide, IodosoBenzoate, Proline_Endopept, Staph_Protease, Trypsin_K, AspN
32 SGLRINRAGDDAAG₄₅	1.8568	1372.41	5.68	Chymotrypsin, Cyanogen_Bromide, IodosoBenzoate, Proline_Endopept, Staph_Protease, Trypsin_K
139 GFKGEFQIGANSNQ₁₅₂	1.1314	1496.60	6.00	Clostripain, Cyanogen_Bromide, IodosoBenzoate, Proline_Endopept, Trypsin_R, AspN
146 IGANSNQTVKL₁₅₆	1.5680	1144.29	8.75	Chymotrypsin, Clostripain, Cyanogen_Bromide, IodosoBenzoate, Proline_Endopept, Staph_Protease, Trypsin_R, AspN, Chymotrypsin(modified)
173 SLESKALT_K₁₈₁	0.8479	976.14	8.31	Chymotrypsin, Clostripain, Cyanogen_Bromide, IodosoBenzoate, Proline_Endopept, Trypsin_R, AspN
180 TKDSNLADGT_Y₁₉₀	0.8842	1184.22	4.21	Chymotrypsin, Clostripain, Cyanogen_Bromide, IodosoBenzoate, Proline_Endopept, Staph_Protease, Trypsin_R
191 KISGKNLVDTNG₂₀₂	0.8947	1245.40	8.59	Chymotrypsin, Clostripain,

سیده زهرا موسوی و همکاران

					Cyanogen_Bromide, IodosoBenzzoate, Proline_Endopept, Staph_Protease, Trypsin_K, Trypsin_R
209	DAASKKITVNGKDT ₂₂₂	1.0706	1447.61	8.50	Chymotrypsin, Clostripain, Cyanogen_Bromide, IodosoBenzzoate, Proline_Endopept, Staph_Protease, Trypsin_R, Chymotrypsin(modified)
237	VKSGTAEIKNTM ₂₄₈	1.2018	1231.39	8.56	Chymotrypsin, Clostripain, Cyanogen_Bromide, IodosoBenzzoate, Proline_Endopept, Trypsin_R, AspN, Chymotrypsin(modified)
246	NTMTGAATK ₂₅₄	1.1177	894.01	8.75	Trypsin, Chymotrypsin, Clostripain, IodosoBenzzoate, Proline_Endopept, Staph_Protease, Trypsin_k, Trypsin_R, AspN, Chymotrypsin(modified)
253	TKLSSGNYEIKGTN ₂₆₆	1.7733	1511.65	8.17	Clostripain, Cyanogen_Bromide, IodosoBenzzoate, Proline_Endopept, Trypsin_R, AspN
258	NYEIKGTNVIKDG ₂₇₁	1.0961	1507.66	6.07	Clostripain, Cyanogen_Bromide, IodosoBenzzoate, Proline_Endopept, Trypsin_R
291	DVSEAEELGF ₂₉₉	0.9233	966.01	3.57	Trypsin, Chymotrypsin, Clostripain, Cyanogen_Bromide, IodosoBenzzoate, Proline_Endopept, Trypsin_K, Trypsin_R, AspN
321	INGSDVSTRELASG ₃₂₅	1.7068	1405.48	4.35	Chymotrypsin, Cyanogen_Bromide, IodosoBenzzoate, Proline_Endopept, Trypsin_K
363	ENLTAAESRVR ₃₇₃	1.3970	1245.36	6.24	Chymotrypsin, Cyanogen_Bromide, IodosoBenzzoate, Proline_Endopept, Trypsin_K, AspN

رنگ آبی مربوط به اپی توپ‌های سلول B، رنگ سبز اپی توپ‌های سلول T، رنگ قرمز اپی توپ مشترک بین سلول B و T می‌باشد.

B cell epitopes are in blue colour, T cell epitopes are in green colour, common epitopes of T and B cells are in red colour



شکل ۳- ساختار سوم به دست آمد آنتی ژن فلاژلین با استفاده از نرم افزار **I-TASSEER** و نرم افزار **pymol** رنگ آبی= اپی توپ‌های سلول B، رنگ سبز اپی توپ‌های سلول T، رنگ قرمز اپی توپ مشترک بین سلول B و T

Figure 3. results of prediction of the tertiary structure of Flagellin antigen using I-TASSEER and pymol softwars. Blue= B cell epitopes, green= T cell epitopes, red= common epitopes of T and B cells

با وجود اینکه واکسن تنها راه کترول موثر بیماری شاربن عالمتی است ولی منابع محدودی در رابطه با واکسن شاربن عالمتی در کشور وجود دارد. موسسه سرم سازی رازی در سال ۱۳۹۱ در ایران موفق به تولید انبوه واکسن علیه شاربن عالمتی شد (۱۳) و پروتئین فلاژلین باکتری کلستریدیوم شووای برای اولین بار توسط کوجیما و همکاران در سال ۲۰۰۰ کلون شد (۱۰). به دلیل نیاز به هزینه، زمان و تجهیزات زیاد، استفاده از روش‌های تجربی در توسعه واکسن‌های اپی توپی محدود است بنابراین استفاده از روش‌های بیوانفورماتیکی بیشتر مورد توجه قرار گرفت (۴). در مطالعه‌ی حاضر تجزیه و تحلیل بیوانفورماتیک آنتی ژن فلاژلین در باکتری کلستریدیوم شووای با استفاده از نرم افزارهای تحت وب پیش‌بینی‌کننده سلول B و T، هم چنین نرم افزارهای پیش‌بینی ساختار دوم و سوم انجام شد. هضم آنزیمی نیز به منظور پیش‌بینی جایگاه‌های تخریب آنزیمی برای اپی توپ سلول‌های B و T صورت گرفت (جدول ۶). اپی توپ‌های پیش‌بینی شده نهایی در این مطالعه برای سلول B و T به ترتیب به رنگ آبی و سبز نشان داده شده است (شکل ۳). نتایج به دست آمده نشان

داد که توالی آمینواسیدی ۳۲ تا ۴۵ می‌تواند اینمی‌هومورال و اینمی‌سلولی را به‌طور مشترک تحریک کند. بررسی نتایج ساختار دوم و سوم نیز نشان داد اپی‌توب مشترک برای سلول B و T شامل ۶۱ درصد نواحی حلقه‌های تصادفی می‌باشد که در سطح ساختار آنتی‌ژن فلازلین قرار دارند. بررسی‌ها نشان داده است که در نواحی که شامل حلقه‌های تصادفی هستند، به دلیل اینکه بیشتر در سطح پروتئین قرار می‌گیرند، احتمال حضور اپی‌توب بیشتری را نیز دارند (۱۶). به منظور جلوگیری از تخریب و تجزیه پیتید در طول فرایند پردازش آنتی‌ژن، اپی‌توب باید قادر جایگاه‌های برشی آنزیم‌های پروتئازوم باشد (۱۴). بر این اساس اپی‌توب‌های پیش‌بینی سلول B و T از نظر دارا بودن جایگاه‌های تخریب آنزیمی نیز مورد آنالیز قرار گرفتند. نتایج نشان داد که هیچ جایگاه برشی برای آنزیم‌هایی مانند Trypsin, Clostripain, Cyanogen_Bromide, IodosoBenzoate، آنالیز بیوانفورماتیکی نشان می‌دهد که این اپی‌توب‌ها علاوه بر استفاده در واکسن‌های تزریقی در واکسن‌های خواکی هم با اطمینان بیشتری می‌توان استفاده نمود چرا که نتایج آنالیز بیوانفورماتیکی در نهایت انتخاب شدند از امتیاز بالایی برخوردار بودند (جدول ۴). امتیاز Vaxjen، توالی‌های که در عنوان ناحیه اینواسیدی ۳۲ تا ۴۵ را به‌عنوان ناحیه اپی‌توبی مناسب برای بیماری شاربن بنابراین می‌توان ناحیه اینواسیدی ۳۲ تا ۴۵ را به‌عنوان ناحیه اپی‌توبی مناسب برای بیماری شاربن علامتی گزارش کرد. هرچند که سنتز و آنالیزهای تجربی در آزمایشگاه از اپی‌توب‌های پیش‌بینی شده برای ایجاد یک واکسن مؤثر امری ضروری می‌باشد. از آنجا که مطالعه و بررسی‌های بیوانفورماتیکی قبل از شروع آزمایشات در مقایسه با آزمایشات تجربی در زمان و هزینه صرفه جویی می‌کند، پیشنهاد می‌شود که قبل از هر گونه انجام آزمایش تجربی مربوط به اینمی‌زاوی واکسن‌های مبتئی بر اپی‌توب، از اپی‌توب‌های حاصله از آنالیزهای بیوانفورماتیک نیز استفاده شود. تا کنون مطالعه‌ای در مورد بررسی اپی‌توب‌های موجود در پروتئین فلازلین باکتری کلستریدیوم شووای عامل بیماری شاربن علامتی در گاو و گوسفند صورت نگرفته است. امید است که نتایج گزارش شده در این پژوهش، در مطالعات مربوط به واکسن‌های اپی‌توبی در آینده مورد استفاده قرار گیرد.

منابع

1. Ahsani, MR., Bafti, MS., Esmailizadeh, AK., and Mohammadabadi, MR. 2011. Genotyping of isolates of Clostridium perfringens from vaccinated and unvaccinated sheep. Small Ruminant Research. 95:1. 65-69.
2. Ahsani, MR., Mohammadabadi, MR., and Shamsaddini, MB. 2010. Clostridium perfringens isolate typing by multiplex PCR. Venomous Animals and Toxins including Tropical Diseases J. 16:4. 573-578.
3. Cassataro, J., Estein, SM., Pasquevich, KA., Velikovsky, CA., Barrera, S.D., Bowden, R., Fossati, CA., and Giambartolomei, GH. 2005. Vaccination with the Recombinant Brucella Outer Membrane Protein 31 or a Derived 27-Amino-Acid Synthetic Peptide Elicits a CD4 Juliana Cassataro, T Helper 1 Response That Protects against Brucella melitensis Infection. Infection and immunity J. 73:12.8079-8088.
4. Chen, P., Rayner, S., and Hu, KH. 2011. Advances of Bioinformatics Tools Applied in Virus Epitopes Prediction. Virologica Sinica, J. 26:1.1-7.
5. Forouharmehr, A., and Nassiry, MR. 2015. B and T-Cell Epitopes Prediction of the P40 Antigen for Developing Mycoplasma Agalactiae Vaccine Using Bioinformatic Tools. Genetics in the 3 rd Millennium J. 13:1. 3954-3961.
6. Frey, J., and Falquet, L. 2015. Patho-genetics of Clostridium chauvoei. Microbiology J. 166:4. 384-392.
7. Gacem, F., Madadi, M.A., Nawel, K.H., and Bakour, R. 2015. Study of Vaccinal Properties of Clostridium chauvoei Strains Isolated During a Blackleg Outbreak in Cattle in Algeria. KafkasUniv Vet FakDerg J. 21: 6. 825-829.
8. Hadizadeh, M., Mohammadabadi, MR., Niazi, A., Esmailizadeh Koshkoiyeh, AK., Mehdizadeh Gazooei, Y., and Molaei, S. 2013. Use of bioinformatics tools to study exon 2 of GDF9 gene in Tali and Beetal goats. J. of Modern Genetics J. 3 :34. 283-288. (In Persian).
9. Hadizadeh, M., Niazi, A., Mohammad Abadi, M., Esmailizadeh, A., and Mehdizadeh Gazooei, Y. 2014. Bioinformatics analysis of the BMP15 exon 2 in Tali and Beetal goats. Modern Genetics J. 9(1): 117-120. (In Persian).
10. Kojima, A., Uchida, I., Sekizaki, T., Sasaki, Y., Ogikubo, Y., Kijima, M., and Tamura, Y. 2000. Cloning and expression of a gene encoding the flagellin of Clostridium chauvoei. Veterinary Microbiology J. 76(4): 359-372.
11. Li, Y., Liu, X., and Zhu, Y. 2013. Bioinformatic prediction of epitopes in the Emy162 antigen of Echinococcus multilocularis. Experimental and Therapeutic Medicine J. 6(2): 335-340.
12. Ontiveros Corpus Mde, L., Hernández Andrade, L., López Mendez, J., and Tenorio Gutierrez, V. 2008. Prevention of Blackleg by an Immunogen of Clostridium chauvoei . Animal Biodiversity and Emerging Diseases J. 1149: 303-305.

13. Pilehchian Langroudi , R., Jabbari, A.R., and Moosawi Shoshtari, M. 2012. Large scale production of Blackleg vaccine by fermenter and enriched culture medium in Iran. *Razi Institute*. 67(1): 43-49.
14. Toes, RE., Nussbaum, AK., Degermann, S., Schirle, M., Emmerich, NP., Kraft, M., Laplace, C., Zwinderman, A., Dick, TP., Müller, J., Schönfisch, B., Schmid, C., Fehling, H.J., Stevanovic, S., Rammensee, H.G., and Schild, H. 2001. Discrete cleavage motifs of constitutive and immune proteasomes revealed by quantitative analysis of cleavage products. *Experimental Medicine J.* 194(1):1-12.
15. Usharani, J., Nagaleekar, V.K., Thomas, P., Gupta, S.K., Bhure, S.K. Dandapat, P., Agarwal, RK., and Singh, VP. 2015. Development of a recombinant flagellin based ELISA for the detectionof Clostridium chauvoei. *Anaerobe J.* 33: 48-54.
16. Yanhua, L., Xianfel, L., Yuejie, Z., Xiaotao, Z., Chunbao, C., Xiaoan, H., Haimei, M., Hao, W., Xumin, M., and Jian-Bing, D. 2013. Bioinformatic prediction of epitopes in the Emy162 antigen of *Echinococcus multilocularis*. *Experimental and Therapeutic Medicine J.* 6(2): 335-340.
17. Yousefi, S., Tahmoorespur, M., and Sekhavati, M.H. 2015. B and T-Cell Epitope Prediction of the OMP25 Antigen for Developing *Brucella melitensis* Vaccines for Sheep. *International Journal of Applied Sciences.* 5:3.629-638.

In silico prediction of B and T cell epitopes of Flagellin antigen of bacterium Clostridium Chauvoei

*S.Z. Mousavi¹, N. Nazifi², Z. Pirkhezranian² and K. ahmadian²

¹M.Sc. student and ²Ph.D Student of Animal Genetics and Breeding, Dept. of Animal Science, Faculty of Agriculture, Ferdowsi University of Mashhad, Iran

Received: 04/16/2016; Accepted: 11/15/2016

Abstract

Introduction: Blackleg including a Severe and fatal disease affecting young cattle and sheeps. Symptoms of this disease is poisoning myositis and often fatal. A clostridium chauvoei bacterium which is the agent of this disease is a Gram-positive, rod shape, anaerobic bacteria and produce gase and spore. Spores of the bacteria are highly resistant and can survive in the soil and feed. Size of these bacteria is $0.5-1 \times 3-8$ microns and seems usually single, diplo and rarely stereo Basil. Flagella are the major protective antigen that is in the bacteria surface. Since flagellin protein is a virulence factor and a protective antigen, takes lots attentions in recent years and it can be used as recombinant vaccine design. The aim of present study is detection of B and T cell epitope of Flagellin protein using bioinformatics analysis tools.

Materials and Methods: Using bioinformatics prediction of B and T cell epitopes as well as software to predict the secondary and tertiary structure of proteins, the epitopes of protein Flagellin based on the highest score and most frequent were determined. Finally, to further investigate aimed to exploit properties of selected epitopes, test of antigenicity ability and enzyme digestion has been done using VaxiJen 2.0 software with 8.0 threshold value and protein digest software respectively corresponding related server.

Results: 3 epitopes in the range of 95-107, 311-320, 399-406 for T cell epitope and 3 amino acid 146-156, 246-254, 291-299 resedidue for B cells resulted. The amino acid sequence 32_45 resedidue were in common for both B and T cells reported respectively.

*Corresponding author; zaramousavi@yahoo.com

Conclusion: Using the amino acid sequence specially the shared epitopes between both B and T cells in subunit recombinant construct in new generation of vaccines, not only can eliminating the risks of adverse effects of attenuated live vaccines but also a high level of immune response on the host body infected with clostridium chauvoei bacterium could be created.

Keywords: Clostridium Chauvoei, Flagellin, Epitope prediction, Bioinformatics

